



UNIVERZITET U TUZLI
RUDARSKO-GEOLOŠKO-GRAĐEVINSKI FAKULTET



HIDROMEHANIKA

Prof. dr. sc. NEDIM SULJIĆ, dipl.ing.građ.

1

HIDRODINAMIKA

- Do sada smo izučavali fluide u stanju mirovanja → **BITNE ZAKONITOSTI**
- Fluidi mogu da teku → kreću se → tečenje vode riječima i cijevima, dim . . .
nameće se niz pitanja → zašto se povećava v vode kroz cijev kada smanjimo A ?
zašto se dim "uvija" i stvara vrtloge prilikom podizanja?

odgovori → **DINAMIKA FLUIDA**



2

Hidrodinamika → nauka koja proučava kretanje tečnosti i čvrstih tijela u tečnosti zajedno s uzrocima zbog kojih kretanje nastaje

Hidrodinamika → proučava sile koje djeluju na tečnost

Hidrodinamika → ovisnost tih sila i kretanja nastalog **because act those forces**

Definisanje kretanja tečnosti:

poznavati raspored v i p u svim tačkama strujnog polja i njihovu promjenu u $f(t)$

Zbog jednostavnijeg računa → pojam **IDEALNE TEČNOSTI**

IDEALNA TEČNOST:

- Potpuno nestišljiva

- Odsustvo temperaturnog širenja

- Odsustvo viskoziteta tj. sila trenja pri kretanju

3

Forces acting on the fluid:

1) **zapreminske sile (vanjske sile)**

2) **površinske sile (unutarnje sile)**

- 1) **Zapreminske sile** → rezultat mase na koju djeluju i od koje potiču raspoređene unutar zapremine (prostora) tijela djeluju na svaki dio mase tijela

zapreminske sile:

- sila teže → **gravitacijske sile**

- sile inercije (tromosti)

1. Sila težine se javlja zbog djelovanja sile teže: $\mathbf{F}_G = -\rho g dV$

2. Sila inercije je akceleracijsko djelovanje sile sadržano u inercijskoj reakciji tvari na koju sila djeluje: $m \frac{dv}{dt} = ma = \sum \mathbf{F}_i = \mathbf{F}_i$

4

2) Površinske sile \rightarrow sile dodira između djeličica tečnosti
sile dodira između djeličica tečnosti i stijenke cijevi npr.
uočavaju se na presječnim $A \rightarrow$ djeluju površinski

Površinske sile u hidrodinamici:

- okomita sila ili sila pritiska
- smičuća sila ili sila trenja

1. Sila p je rezultat djelovanja tečnosti na promatrane presječne površine:
 $\mathbf{F}_N = -p\mathbf{dA}$

2. Smičuća sila je rezultat trenja tečnosti i stijenke:
 $\mathbf{F}_T = \tau \mathbf{dA}$

5

•Proučavanje kretanja fluida \rightarrow veoma složen zadatak.

•Opšti slučaj kretanja potrebno je voditi računa o velikom broju veličina u cijeloj V koju zauzima fluid, a koje su $\mathbf{f}(t)$.

•Zbog ove složenosti proučavanje se može pojednostavljivati na nekoliko načina:
a) Idealizacije modela fluida pomazu da se matematički jednostavnije opisuje kretanje ili mirovanje fluida.
b) U slučaju kretanja fluida, pored p , ρ i external forces pojavljuje se \mathbf{v} kretanja čestica fluida.
c) Viskoznost se manifestuje tokom kretanja fluida.

•Istorijski \rightarrow mehanika fluida u domenu kretanja razvijala se u dva pravca:

1. Lagranžev (Joseph-Louis Lagrange) princip zasnovan na posmatranju čestice fluida koja se kreće, (kao u mehanici čvrstih tijela). Princip se sastoji u tome da se čestica fluida "prati" tokom njenog kretanja.

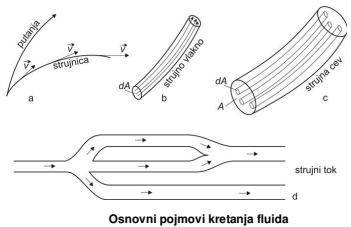
2. Ojlerov (Leonhard Euler) princip zasnovan na posmatranju cijelog prostora koji zauzima fluid. "Prate" se promjene svih bitnih veličina u nekoj tački prostora koji zauzima fluid. Fluid se smatra potpuno plastičnom (deformabilnom) materijalom koja u potpunosti ispunjava prostor.

6

•**Pojednostavljenje kretanja fluida** \rightarrow jednostavniji matematičko opisivanje (često se može usvojiti tako da se posmatrani parametri fluida u posmatranoj tački fluidnog prostora ne mijenjaju tokom vremena).

•U ovakvom slučaju ovakav kretanje je stacionarno ("ustaljeno").
Kada se posmatrane veličine u nekoj tački mijenjaju tokom vremena kretanje je nestacionarno ("neustaljeno").

OSNOVNI POJMOVI KRETANJA TEČNOSTI:



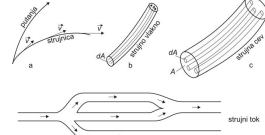
7

•**Putanja:** geometrijsko mjesto tačaka kroz koje je prošao fluidni djelič. U oštem slučaju to je kriva linija po kojoj se kretao posmatrani fluidni djelič. Naziva se i "trag" kretanja fluidnog djeliča. Pri stacionarnom kretanju strujnica i putanja se podudaraju (poklapaju) (slika a).

•**Strujno vlakno:** skup ("zbir") strujnica i predstavlja elementarnu (diferencijalnu) strujnu cijev (slika b).

•**Strujna cijev:** konačni zbir strujnih vlakana (slika c).

•**Struini tok:** zbir više strujnih cijevi koje razgranjavaju i spajaju (razgranate cijevne mreže, rijeke sa kanalima i sl.) (slika d).

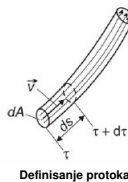


8

PROTOK

- **Protok (Q)** količina fluida koja protekne kroz posmatranu A preseka u jednici t.

• Definicija protoka može se odrediti na osnovu definicije ρ :



$$\rho = \frac{dm}{dV}$$

$$dm = \rho dV = \rho ds dA$$

ds – elementarni predeni put
 dA – elementarna površina
 dm – elementarna masa

9

• Protok maseni i zapreminski

- **Maseni protok** se definiše na osnovu j-ne: $d\dot{m} = \frac{dm}{dt} = \rho \frac{ds}{dt} dA = \rho v dA$ (kg/s)

- dt je elementarno vrijeme, koje je proteklo tokom prelaska puta ds ,
 ds/dt je trenutna v fluida u posmatranoj tački.

- **Zapreminski protok** određuje se: $d\dot{V} = dQ = \frac{d\dot{m}}{\rho} = \frac{\rho v dA}{\rho} = v dA$ (m³/s)

10

JEDNAČINA KONTINUITETA

- Šta se dešava kada cijev kroz koju protiče fluid nije istog A ?

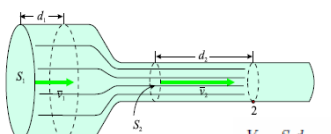
- Kada smanjimo A neke cijevi (teče voda) teće većom v



slično na mjestima gdje se korito rijeke sužava



suprotno proširenje riječnog toka manja v tečenja



Jednačina kontinuiteta - objašnjenje

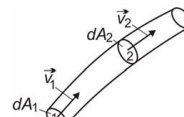
11

- Opšti zakon klasične fizike o održanju mase (materije) primjenjen na strujanje fluida = **jednačina kontinuiteta**.

• Slučaj stacionarnog kretanja:

- Prethodno je definisan maseni protok fluida.
- Posmatramo elementarno strujno vlakno (sl. dole): maseni protok duž njega će biti jednak, zato što se "masa ne može dobiti ni izgubiti".

• Zbog toga važi: $dm_1 = dm_2 = \dots = dm = const \quad (A)$



Proticanje fluida kroz strujno vlakno

12

* Na osnovu izraza za maseni protok: $d\dot{m} = \frac{dm}{d\tau} = \rho \frac{ds}{d\tau} dA = \rho v dA$ (kg/s)

* J-nu (A) može pisati: $\rho_1 v_1 dA_1 = \rho_2 v_2 dA_2 = \dots = \rho v dA = const$ (B)

• J-na (B) je tražena jednačina kontinuiteta u elementarnom obliku.

• Kod nestišljivog fluida, ($\rho = const$), j-na se pojednostavljuje:

$$dQ = v_1 dA_1 = v_2 dA_2 = \dots = v dA = const \quad (\mathbf{C})$$

* Za strujnu cijev treba sabrati \mathbf{Q} kroz strujna vlakna od kojih je cijev sastavljena

* Ukupni maseni protok kroz strujnu cijev je: $\dot{m} = \int_A \rho(v, dA)$

* Za nestišljiv fluid: $Q = \int_A (v, dA)$ (D)

13

* J-na kontinuiteta za strujnu cijev se formuliše za: $m=const$ ili $Q=const$

- Za praktičnu primjenu j-ne kontinuiteta koristimo pojam srednje brzine u strujnoj cijevi.

- Srednja v definiše se na slijedeći način:

$$\dot{m} = \int_A \rho(v, dA) = v_{sr} A \quad \Rightarrow \quad v_{sr} = \frac{\int (v, dA)}{A}$$

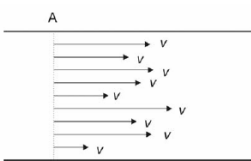
• Izraz u zagradi je skalarni proizvod vektora.

• Jednostavnije v_{sr} : $v_{sr} = \frac{\int v dA}{A}$ (E)

v = komponenta brzine normalna na A poprečnog presjeka strujne cijevi.

Komponente v različitog intenziteta po presjeku.

14



Vrijednost normalne komponente brzine je različita po presjeku strujne cijevi

* Vrijednost integrala iz j-ne (E) jednaka je ukupnom protoku: $v_{sr} = \frac{Q}{A}$ (F)

• U mehanički fluidu postoje i druge definicije v_{sr} , koje se primjenjuju u specifičnim slučajevima.

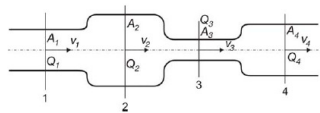
* J-na kontinuiteta za stacionarno stjecanje kroz strujnu cijev:

$$\dot{m} = \rho_1 v_1 A_1 = \rho_2 v_2 A_2 = \dots = \rho v A = const$$

15

* Nestišljivi fluidi ($\rho=const$): $Q = v_1 A_1 = v_2 A_2 = \dots = v A = const$ (G)

* Primjer strujne cijevi (mjenja se A presjeka):



* J-na kontinuiteta: $Q_1 = Q_2 = Q_3 = Q_4 = A_1 v_1 = A_2 v_2 = A_3 v_3 = A_4 v_4$ (H)

J-na kontinuiteta:

- v fluida veća gdje je A manja i obratno
- fluid ubrzava u smjeru suženja cijevi \Rightarrow u tom smjeru djeluje i sila
- sila nastaje kao rezultata razlike p
- p veći u užem ili širem dijelu cijevi?
- veći p u širem dijelu cijevi \Rightarrow manja v tečenja

16

OSNOVNA J-NA KRETANJA FLUIDA

(OJLEROVA DIFERENCIJALNA J-NA ZA KRETANJE FLUIDA)

• Uzmimo \rightarrow neviskozan fluid u stacionarnom tečenju

• J-na statike fluida: $\vec{F} = \frac{1}{\rho} grad p$



To je vektorska j-na i naziva se **Ojlerova jednačina za miran fluid**.

Skalarni oblik ove j-ne u pravouglom Dekartovom kordinatnom sistemu glasi:

$$X = \frac{1}{\rho} \frac{\partial p}{\partial x} \quad Y = \frac{1}{\rho} \frac{\partial p}{\partial y} \quad Z = \frac{1}{\rho} \frac{\partial p}{\partial z}$$

• Rešenje Ojlerove j-ne za miran fluid jednostavno ako je:



$\rho = \text{const}$ (nestišljivi fluid) ili poznata funkcija $\rho = \rho(p)$

17

• Kretanje neviskoznih fluida \rightarrow spolne sile i inercijalne sile.

• One su posledica Njutnovog zakona: $F_i = m a = m \frac{dv}{dt}$

• Za jediničnu masu fluida ovaj zakon glasi: $F_i = \frac{dv}{dt}$

• **Dinamička j-na ravnoteže fluida** = ravnoteža unutrašnjih i spoljnih sila (statika fluida) i ravnoteža inercijalnih sila:

$$F_i = \vec{F} - \frac{1}{\rho} grad p \quad \frac{dv}{dt} = \vec{F} - \frac{1}{\rho} grad p$$

• Vektorska j-na razlaže se u skalarni oblik, u pravouglom Dekartovom kordinatnom sistemu:

$$\frac{dv_x}{dt} = X - \frac{1}{\rho} \frac{\partial p}{\partial x} \quad (1)$$

$$\frac{dv_y}{dt} = Y - \frac{1}{\rho} \frac{\partial p}{\partial y} \quad (2)$$

$$\frac{dv_z}{dt} = Z - \frac{1}{\rho} \frac{\partial p}{\partial z} \quad (3)$$

18

Kada j-nu (1) pomnožimo sa dx ; j-nu (2) sa dy ; j-nu (3) sa dz :

$$\frac{dv_x}{dt} dx = X dx - \frac{1}{\rho} \frac{\partial p}{\partial x} dx$$

$$\frac{dv_y}{dt} dy = Y dy - \frac{1}{\rho} \frac{\partial p}{\partial y} dy$$

$$\frac{dv_z}{dt} dz = Z dz - \frac{1}{\rho} \frac{\partial p}{\partial z} dz$$

Sabiranjem ove tri j-ne dobijamo:

$$\frac{dv_x}{dt} dx + \frac{dv_y}{dt} dy + \frac{dv_z}{dt} dz = Y dy + X dx + Z dz - \frac{1}{\rho} \frac{\partial p}{\partial x} dx - \frac{1}{\rho} \frac{\partial p}{\partial y} dy - \frac{1}{\rho} \frac{\partial p}{\partial z} dz$$

Preuređenjem ove j-ne dobijamo:

$$\frac{dx}{v_x} dv_x + \frac{dy}{v_y} dv_y + \frac{dz}{v_z} dv_z = Y dy + X dx + Z dz - \frac{1}{\rho} \left(\frac{\partial p}{\partial x} dx - \frac{\partial p}{\partial y} dy - \frac{\partial p}{\partial z} dz \right) \quad (4)$$

Dobijamo komponente brzine u pravcima pojedinih koordinata.
Uočavamo totalni diferencijal pritiska dp .

19

J-na (4) dobija slijedeći oblik:

$$v_x dv_x + v_y dv_y + v_z dv_z = Y dy + X dx + Z dz - \frac{1}{\rho} dp \quad (5)$$

Brzina fluida u nekoj tački: $v^2 = v_x^2 + v_y^2 + v_z^2$

Nakon diferenciranja i dijeljenja sa 2, j-na (5) poprima oblik:

$$d\left(\frac{v^2}{2}\right) = v_x dv_x + v_y dv_y + v_z dv_z$$

odnosno

$$d\left(\frac{v^2}{2}\right) = Y dy + X dx + Z dz - \frac{1}{\rho} dp \quad (6)$$

J-na (6) je **Ojlerova jednačina za kretanje fluida**,
(važi za stacionarno strujanje i za neviskozni fluid).

Ojlerova diferencijalna jednačina kretanja je opšti zakon

20

BERNOULLI-eva JEDNAČINA

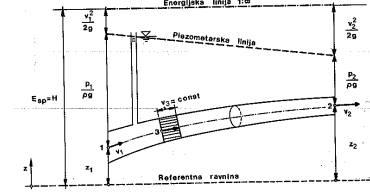
- Temeljna važnost
- U hidraulici najveća primjena
- Primjena za ustaljeno (stacionarno) i neustaljeno (nestacionarno) tečenje
- Puni izražaj kod strujanja realne tečnosti

BERNOULLI-EVA J-NA IDEALNE TEČNOSTI

- **Pretpostavka:** ustaljeno tečenje, nestišljiva tečnost, bez temp. širenja i viskoziteta
- Djeđovanje: vlastita težina F_G , sila pritiska F_N i sila tromosti F_t
- Bernoulli-eva j-na u visinskom obliku:

$$z_1 + \frac{p_1}{\rho g} + \frac{v_1^2}{2g} = z_2 + \frac{p_2}{\rho g} + \frac{v_2^2}{2g} = H = E_{sp} = const$$

21



$$z_1 + \frac{p_1}{\rho g} + \frac{v_1^2}{2g} = z_2 + \frac{p_2}{\rho g} + \frac{v_2^2}{2g} = H = E_{sp} = const$$

z_i – visina položaja posmatrane tačke (m)

p_i – pritisak u istoj tački (N/m²)

ρ – gustina tečnosti (kg/m³)

v_i – srednja brzina u presjeku toka (m/s)

$H=E_{sp}$ – energetska visina (m)

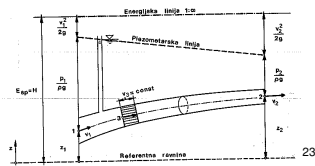
22

- **Energetska visina (H=Esp)** = energija jedinice mase tečnosti uzete s obzirom na proizvoljno odabranu horizontalnu ravan kao referentnu ravan.
- Bernoulli-eva j-na = zakon stalnosti specifične mehaničke (potencijalne i kinetičke) energije idealne tečnosti u strujanju

- Član z = visina svih položaja različitih tačaka toka iznad referentne ravni
- Član z = GEOMETRIJSKA (GEODETSKA) VISINA POLOŽAJA

- Član $p/\rho g$ = TLAČNA VISINA

- Član $v^2/2g$ = BRZINSKA VISINA



23

• Zbir $z+p/\rho g$ = prostorna tzv. PIJEZOMETARSKA LINIJA (Π)

- Do Π će se podići voda u manjoj cijevi spojenoj na cijev

- U vodovodnoj mreži: razvod vode po vertikali moguć jedino do Π linije

• Promjena Π linije ($z+p/\rho g$) po jedinici dužine = PIJEZOMETARSKI PAD

- **Bernoulli-eva j-na za idealnu tečnost**: za sve tačke zadane linije toka je suma tri visine (visine položaja, tlačne visine i brzinske visine) **STALNA VELIČINA**

- **Realna tečnost**: postoji trenje (specifična mehanička energija duž toka opada)

- Razlog opadanju: jedan dio energije se **bespovratno pretvara u toplinski energiju** prilikom savladavanja otpora koji se javljaju u realnoj tečnosti prilikom tečenja

24

BERNOULLI-EVA JEDNAČINA REALNE TEĆNOSTI

- Ustaljeno tečenje nestišljive tečnosti (visinski oblik Bernoulli-eve j-ne) između dva presjeka:

$$z_1 + \frac{p_1}{\rho g} + \frac{\alpha_1 v_1^2}{2g} = z_2 + \frac{p_2}{\rho g} + \frac{\alpha_2 v_2^2}{2g} + \Delta H \quad (1)$$

α = CORIOLISOV KOEFICIJENT (KOEFICIJENT KINETIČKE ENERGIJE)

α = odnos stvarne kinetičke **E** sekundne mase tečnosti prema kinetičkoj **E** određenoj iz uslova da su **v** u svim tačkama proticajne **P = v sr**

$$\alpha = \frac{\int_A v^3 dA}{\bar{v}^3 A} \geq 1$$

• U hidrotehnici (strujanje u cijevima): **α=1,0**

• U hidrotehnici (otvoreni vodotovovi) **α=1,1**

25

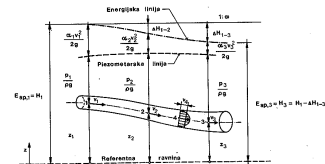
ΔH = dio specifične **E** utrošen na savladavanje otpora strujanju tečnosti (m)

ΔH = rad svih sila otpora koji se odnosi na jedinicu mase viskozne tečnosti pri njenom strujanju iz presjeka 1 u presjek 2

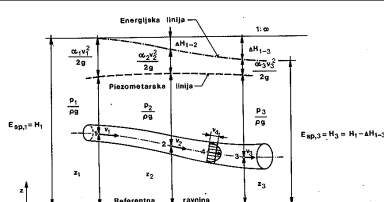
• J-na (1) sadrži **ZAKON ODRŽANJA ENERGIJE ("ZOE")**

• "ZOE" primjenjen na tečnosti: ukupna promjena **E** posmatrane **V** tečnosti u t jednaka je radu svih sila koje u tom vremenu djeluju na tečnost

$$z_1 + \frac{p_1}{\rho g} + \frac{\alpha_1 v_1^2}{2g} = z_2 + \frac{p_2}{\rho g} + \frac{\alpha_2 v_2^2}{2g} + \Delta H \quad (1)$$



26



Π linija može duž toka rasti, a linija **E** uvijek opada (razlika od idealne tečnosti)

• Jednoliki pad **E** linije: odnos gubitaka **ΔH** (m) prema dužini dionice **ΔL** (m) na kojoj nastaje gubitak zove se **HIDRAULIČKI PAD (I_E)**

$$I_E = \frac{\Delta H}{\Delta L}$$

• Za primjenu Bernoulli-eve j-ne kod realnih tečnosti moramo odrediti hidrauličke gubitke (simbol **ΔH**)

27

VRSTE STRUJANJA

• Tečnosti struje "uređeno" ili "haotično"

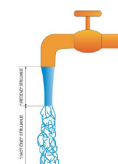
• Posmatranju vode koja ističe iz slavine:

• Kada se slavina malo otvori, na gornjem dijelu toka, blizu izlaznog dijela slavine, voda strui "uređeno".

• Malo niže počinje "haotično" kretanje vode.

• Utvrđeno da vrsta strujanja utiče na ukupne gubitke fluidne energije pri strujanju.

• Zapaženo je da pri većim brzinama fluida dolazi do pojave "haotičnog" strujanja.



28

STRUJANJE (TEČENJE) TEČNOSTI:

- Strujanje vode u prirodi je neustaljeno (nestacionarno)

Neustaljeno (nestacionarno) strujanje:

- v i p se mijenjaju f(t)

$$v=v(x,y,z,t) \quad p=p(x,y,z,t)$$

Ustaljeno (stacionarno) strujanje:

- v i p su const. tokom t

$$v=v(x,y,z) \quad p=p(x,y,z)$$

Jednoliko (ravnomjerno) strujanje:

- Poseban slučaj ustaljenog strujanja

- Raspored v i p u jednom presjeku ostaju isti duž cijelog toka

Nejednako (neravnomjerno) strujanje:

- Opšti slučaj ustaljenog strujanja i veličina poprečnog profila se mijenja

29

• Strujanje tečnosti:

a) Strujanje pod pritiskom: npr. vodovodna mreža – strujanje se odvija pod dejstvom razlike pjezometarskih pritisaka u vodi

b) Strujanje sa slobodnim nivoom: npr. u rijeckama, kanalima, kanalizacionoj mreži – formira se pod dejstvom zemljine teže

Na slobodnoj površini vode vlada atmosferski pritisak.

• U ovisnosti od v i v tečnosti i D protočnog presjeka imamo:

- 1) Laminarno strujanje: strujnice tečnosti imaju paralelan tok i ne miješaju se
- 2) Turbulentno strujanje: strujnice tečnosti imaju vrtložan tok

30

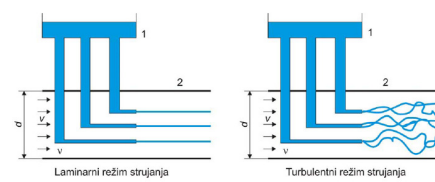
Reynolds proučavao fenomen "uređenog" i "haotičnog" strujanja.

- U osnovni tok fluida upuštao je obojeni fluid iz posebnog rezervoara.
- Ekperimentisao sa različitim fluidima (i tečnim i gasovitim).
- U eksperimentima mijenjao v strujanja osnovnog fluida.
- Ekperimentisao i sa različitim prečnicima cijevi u kojoj je strujao fluid.
- Izveo veoma veliki broj eksperimenta.
- Zapazio da promena režima strujanja zavisi od vrste fluida, odnosno njegove viskoznosti, od v strujanja i od D cijevi u kojoj fluid strui.
- "Uredeno" strujanje je nazvao laminarno strujanje.
- "Haotično" je nazvao turbulentno strujanje.
- Postupnim povećavanjem brzine fluida u cijevi dostizao je moment kada je laminarno strujanje prelazilo u turbulentno.
- Na velikom broju ponovljenih eksperimenata za isti fluid i za istu cijev, uvek pri određenoj v fluida dolazio je do promjene režima strujanja.
- Njegov veliki doprinos nauci bio je taj što je uspio da utvrdi kriterijum pri kome dolazi do prelaska laminarnog u turbulentno strujanje.
- Taj kriterijum kasnije je nazvan baš po Reynoldsu i zove se Reynoldsov broj.
- Definisan na sledeći način:

$$Re = \frac{vd}{\nu}$$

31

Reynoldsov eksperiment



Reynoldsov eksperiment (1 – posuda sa obojenim fluidom, 2 – strujna cev)

32

•Reynolds eksperimentima utvrdio:

promena režima strujanja nastajala je pri tačno određenoj vrijednosti Reynoldsovog broja, bez obzira na vrstu fluida, u fluida i cijevi.

•Laminarno strujanje uvijek je postojalo za vrijednosti $Re \leq 2320$.

•Turbulentno strujanje uvijek je postojalo pri strujanjima za koje je bilo $Re \geq 10000$.

•Pažljivim povećanjem u strujanja iznad $Re = 2320$ može se održati laminarno strujanje, ali je ono nestabilno, i lako se promeni u turbulentno.

•Ako se snižava vrijednost Reynoldsovog broja ispod 10000 može da postoji turbulentni režim.

•Zbog ovih činjenica strujanje u području definisanim opsegom $2320 \leq Re \leq 10000$ naziva se **prelazni režim strujanja**.

•U ovom području moguće je da postoji i laminarno i turbulentno strujanje.

•Na osnovu ovoga imamo:

$$Re \leq 2320$$

Laminarni režim strujanja

$$2320 \leq Re \leq 10000$$

Prelazni režim strujanja

$$Re \geq 10000$$

Turbulentni režim strujanja.

33

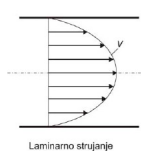
•Režim strujanja utiče na brzinsko polje fluida u cijevi.

•Ovo polje naziva se i profil u fluida u cijevi.

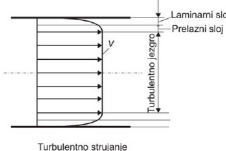
•Ako je strujanje fluida u cijevi laminarno profil v fluida u cijevi definisan je parabolom.

•U slučaju turbulentnog strujanja profil v je ravnomjerniji, ali pri tome treba znati da je uz zidove cijevi strujanje laminarno, a u jezgru cijevi je turbulentno.

•Između laminarnog i turbulentnog područja nalazi se područje prelaznog režima strujanja.



Laminarno strujanje



Turbulentno strujanje

34

ODREDIVANJE GUBITAKA FLUIDNE ENERGIJE

•Proširena Bernoulli-eva j-na, koja se odnosi na viskozni fluid pruža mogućnost za razne proračune strujanja:

$$\frac{v_1^2}{2} + gz_1 + \frac{p_1}{\rho} = \frac{v_2^2}{2} + gz_2 + \frac{p_2}{\rho} + \sum_1^2 H_g$$

•Treba poznavati član jednačina: $\sum_1^2 H_g$

•Veliki broj istraživača radio je na određivanju vrijednosti ovog člana j-ne.

•Ovi gubici se određuju eksperimentalno.

•Uniformnost određivanja gubitaka fluidne energije je postignuta tako što se uzima da je gubitak fluidne energije proporcionalan kinetičkoj energiji fluida.

•Za svaki pojedinačni uzrok nastanka gubitka eksperimentom je utvrđeno na koji način on zavisi od kinetičke energije fluida.

$$Hg_i = \xi_i \frac{v^2}{2}$$

35

$$Hg_i = \xi_i \frac{v^2}{2}$$

• ξ_i = koeficijent otpora, koji se određuje eksperimentalno.

•Specifičnost pojedinih vrsta otpora iskazana je vrijednošću ovog koeficijenta.

•Generalno, gubici fluidne energije razvrstavaju se u dvije vrste:

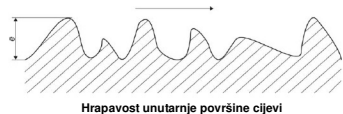
•Prva vrsta gubitaka su oni koji nastaju pri strujanju kroz prave cijevi, a druga vrsta je ona koja nastaje zbog promjene pravca strujnice i zbog promjena lokalnih v fluida. Ova druga vrsta gubitaka naziva se **lokalni gubici fluidne energije**.

36

Gubici fluidne energije pri strujanju kroz prave cijevi

• Uticaj većeg broja faktora

- Nikuradze eksperimentima utvrdio da su to slijedeći faktori:
 - e – hraptovost unutrašnje površine cijevi,
 - d – prečnik cijevi,
 - v – kinematska viskoznost,
 - v – brzina fluida i
 - l – dužina cijevi.



Hrapavost unutarnje površine cijevi

• Nikuradze postavio slijedeću zavisnost: $Hgtr = Hgn \left(\frac{e}{d}, Re, l \right)$

e/d = relativna hraptovost

37

$$\text{Darcy je postavio izraz za linijske gubitke: } Hgtr = \lambda \frac{l}{d} \frac{v^2}{2} \quad (\text{A})$$

λ = koeficijent trenja u pravim cijevima.

• Dalja istraživanja usmjerena ka iznalaženju načina određivanja koeficijenta trenja λ .

• Značajan doprinos u ovoj oblasti dao je Mudi (Moody).

• Moody:

- obradio područje laminarnog, prelaznog i turbulentnog strujanja
- za laminarni režim utvrdio da hraptovost ne utiče na koeficijent trenja.
- kod laminarnog režima strujanja ($Re \leq 2320$) koeficijent trenja se određuje na slijedeći način:

$$\lambda = \frac{64}{Re} \quad (\text{B})$$

• Koeficijent trenja zavisi od v , D cijevi i kinematske viskoznosti.

• U slučaju turbulentnog strujanja proračun gubitaka nešto složeniji.

38

• Mudi (Moody) nastavio istraživanja Nikuradze-a i formirao dijagram, na osnovu koga se određuje koeficijent trenjan (Mudijev dijagram).

• Dijagram je izrađen u logaritamskim koordinatama.

• Na apscisi je Rejndoldsov broj Re , a na ordinati koeficijent trenja λ .
• Obe kordinate su logaritamske.

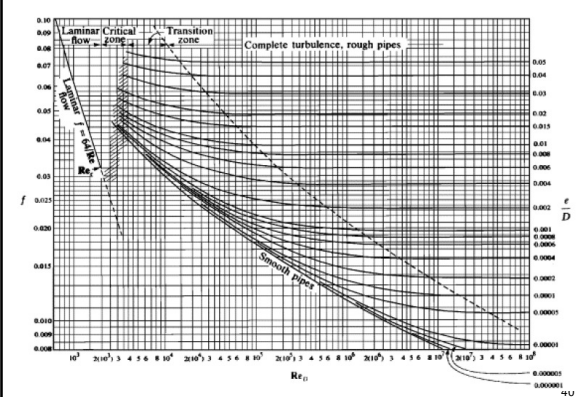
• U lijevom dijelu dijagrama je laminarno područje ($Re \leq 2320$).

• Linija zavisnosti koeficijenta trenja od Rejndoldsovog broja je prava zbog logaritamskih koordinata.
• Ta zavisnost je, inače, hiperbola.

• U desnom dijelu dijagrama, za $Re \geq 2320$, povučene su linije različitih relativnih hraptosti e/d .

39

Moody-ev dijagram



[**•Procedura određivanja koeficijenta trenja, u nekom konkretnom slučaju, je slijedeća:**](#)

- 1.Izračunavanje vrijednosti Reynoldsovog broja,
 - 2.Određivanje režima strujanja,
 - 3.Ako je $Re \leq 2320$, strujanje je laminarno i koristi se jednačina (B),
 - 4.Ako je $Re \geq 2320$, strujanje je prelazno ili turbulentno (određuje relativna hraptovost e/d).
- Na bazi ove vrijednosti se pronalazi odgovarajuća kriva u Mudijevom dijagramu.
 - Ako je potrebno obavlja se interpolacija.
 - Sa apscise gde je nanešena izračunata vrednost Reynoldsovog broja povlači se vertikalna prava linija do presjeka sa određenom linijom relativne hraptovosti.
 - Iz tačke tog presjeka povlači se horizontalna prava do ordinate gde se očitava vrednost koeficijenta trenja λ .
 - Nakon određivanja koeficijenta trenja koristi se izraz (A) za određivanje gubitaka fluidne energije u pravim cijevima.

$$\lambda = \frac{64}{Re} \quad (\text{B})$$

$$Hgtr = \lambda \frac{l}{d} \frac{v^2}{2} \quad (\text{A})$$

41

[**•Cijevi nisu kružnog poprečnog preseka:**](#)

- Reynoldsov broj se izračunava na osnovu hidrauličkog radijusa:

$$Re = \frac{4vR_h}{V}$$

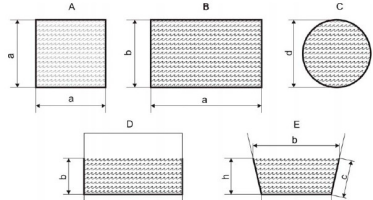
R_h = hidraulički radijus.

R_h se određuje na sledeći način: $R_h = \frac{A}{O}$

A = P poprečnog presjeka

O = okvašeni obim poprečnog presjeka

42



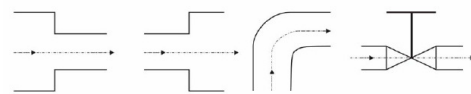
| Oznaka na sl. 4.13. | Presek strujne cevi | Površina A | Okvašeni obim O | Hidraulički radijus Rh |
|---------------------|---------------------|---------------------|-----------------|--------------------------|
| A | Kvadrat | a^2 | $4a$ | $\frac{a}{4}$ |
| B | Pravougaonik | $a \times b$ | $2(a+b)$ | $\frac{ab}{2(a+b)}$ |
| C | Krug | $\frac{\pi d^2}{4}$ | dz | $\frac{d}{4}$ |
| D | Pravougaonik | $a \times b$ | $2b+a$ | $\frac{ab}{2b+a}$ |
| E | Trapez | $\frac{a+b}{2}h$ | $a+2c$ | $\frac{(a+b)c}{2(a+2c)}$ |

43

[**LOKALNI GUBICI FLUIDNE ENERGIJE**](#)

- Zbog promjene pravca strujnica i zbg promjene v strujanja na pojedinim mjestima duž strujanja javljaju se dodatni, lokalni gubici fluidne energije.

- Primjeri za to: skretanje fluida (koljeno), cijevni zatvarači (ventili, zasuni i slavine), proširenja cijevi, suženja cijevi, filteri, račve itd



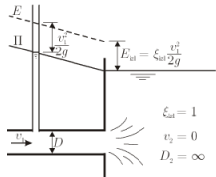
•Lokalni gubici: $Hg = \xi \frac{v^2}{2}$

ξ = koeficijent lokalnog otpora.

- ξ : određuje se pomoću literature, u kojoj su sistematizovani različiti slučajevi i date vrednosti za koeficijent lokalnog otpora.

44

a) Gubitak energije na spoju kraja cijevi i rezervoara:



-Spoj cijevi i rezervoara (slika)

-U cijevi teče voda brzinom v_1 i ima kinetičku energiju $v_1^2/2g$

-Poprečni presjek $R \gg$ poprečni presjek cijevi $D \implies$ sva kinetička energija transformiše se u toplotu

-Koeficijent lokalnog gubitka energije na izlazu iz cijevi ξ_{dl} :

$$\xi_{dl} = 1,$$

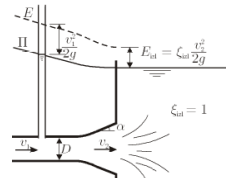
45

-Energija koja se izgubi na izlazu (E_{dl}):

$$E_{dl} = \xi_{dl} \frac{v_1^2}{2g}$$

-Vrijednost koeficijenta lokalnog gubitka na izlazu iz cijevi (ξ_{dl}) **NE MOŽE** se promjeniti.

-Želimo smanjiti fubitke energije (E_{dl}) zbog npr. proizvodnje električne energije u HE, onda poprečne presjekte na izlazu cijevi treba postepeno proširiti (slika dole)



46

-Cijev sa difuzorom (kraj cijevi se širi i tu imamo brzinu $v_2 < v_1$

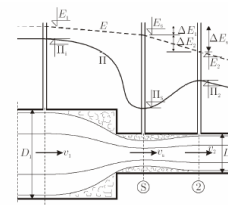
-Koeficijent lokalnog gubitka (ξ_{dl}) je isti

-BITNO: z bog smanjenja brzine (v_2) smanjuje se i E_{dl}

-Ugao difuzora (α) određuje se hidrauličkim modelskim ispitivanjima

47

b) Gubitak energije na suženju cijevi



- Smanjenje poprečnog presjeka cijevi
- Na mjestu suženja, pri tečenju fluida nastaje gubitak energije
- Gubitak na suženju sastoji se iz dva dijela:
 1. U prvom dijelu dolazi do suženja poprečnog presjeka struje u pravcu tečenja te nastaje manji dio ukupnog gubitka energije ΔE_1
 2. U drugom dijelu, u pravcu tečenja, poprečni presjeci struje se šire i stvaraju drugi i veći dio gubitka energije ΔE_2

48

- Poprečni presjek je najjuži na presjeku "S"
- Presjek "S" uslijed kontrakcije mlaza poprečni presjek manji od presjeka manje cijevi

Zaključak:

Struja vode lakše "prati" suženje od proširenja

Smanjenje energije na suženju ($\Delta E_{suž}$):

$$\Delta E_{suž} = \xi_{suž} \frac{v_2^2}{2g}, \quad (\text{A})$$

Prema eksperimentima, koeficijent gubitka energije na suženju ($\xi_{suž}$):

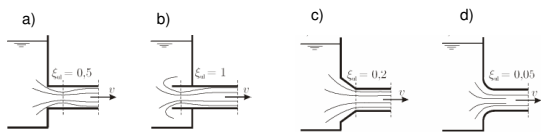
$$\xi_{suž} = 0,5 \left(1 - \frac{D_2^2}{D_1^2} \right)^{3/4}. \quad (\text{B})$$

49

c) Gubitak energije na ulazu u cijev

- Spoj R i cijevi, gdje fluid ulazi u cijev, shvatamo kao suženje
- Mogući razni oblici ulaza u cijev:

 - Ostrovični ulaz
 - Upuštena cijev u R
 - Pravolinijski oblikovani ulaz
 - Hidraulički oblikovan ulaz

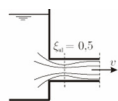


50

a) Ostrovični ulaz: važe izrazi (A) i (B)

- U R, v zanemarljiva i D₁ teži beskonačnosti, te je lokalni gubitak na ulazu:

$$\Delta E_{ul} = \xi_{ul} \frac{v^2}{2g}, \quad (\text{C})$$



- Koeficijent lokalnog gubitka na ulazu:

$$\xi_{ul} = 0,5,$$

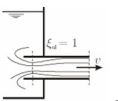
b) Cijev upuštena u R:

-Djelići fluida teže ulaze u cijev \Rightarrow trajektorije više odstupaju od pravih linija

-Lokalni gubici veći od oštovičnog ulaza

-Koeficijent lokalnog gubitka energije ξ_{ul} :

$$\xi_{ul} = 1,0, \quad \text{Važi izraz (C) !!!}$$

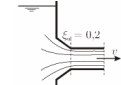


51

c) Pravolinijski oblikovan ulaz:

- Smanjuju se lokalni gubici energije

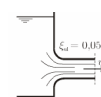
$$\xi_{ul} = 0,2 \quad \text{Važi izraz (C) !!!}$$



d) Hidrauličko oblikovanje ulaza u cijev:

- Znatno smanjuje koeficijent lokalnog gubitka pa tako i gubitak energije

$$\xi_{ul} = 0,05 \quad \text{Važi izraz (C) !!!}$$

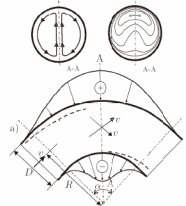


ZAPĀŽANJE:

Oblikovanjem ulaza cijevi u R možemo smanjiti lokalne gubitke energije na ulazu !

52

d) Gubitak energije na kružnoj krivini



- Strujanje fluida u cijevi koja ima kružnu krivinu (koljeno)
- Strujanje u koljenu: osnovno (kao i kod prave cijevi) i sekundarno
- U krivini se formiraju dva helikoidna strujanja (simetrična u odnosu na osu cijevi)
- Posljedica ovokavog strujanja: max. v se premještaju prema spoljnoj strani
- p na spoljnoj strani krivine uvijek $>$ od unutrašnje strane

53

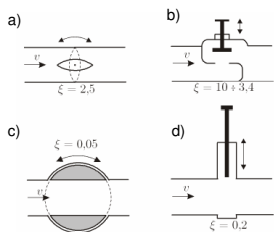
- Koeficijent lokalnog gubitka energije na krivini:

$$\xi_{kr} = \xi_{kr} \left(\alpha, \frac{R}{D}, Re \right)$$

- Uticaj Re broja na gubitak energije u krivini **Nije** toliko značajan
- Npr. u hrapavoj cijevi turbulentacija je jače izražena uticaj Re na lokalne gubitke energije manji od uticaja za glatku cijev

54

e) Gubitak energije na zatvaraču



Koeficijenti lokalnih gubitaka zatvarača:

- a) Leptirasti zatvarač
- b) Pločasti zatvarač
- c) Loptasti zatvarač
- d) Tablasti zatvarač

- Zatvarači na cijevima prouzorkuju lokalne gubitke energije
- Tip zatvarača f-ja veličine lokalnih gubitaka

55

REZIME

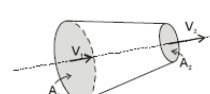
TEČENJE U CIJEVIMA POD PRITISKOM – osnovne jednačine

- Podrazumijevamo slijedeće:

- Fluid nestišljiv ($\rho = \text{const}$)
- Ustaljeno tečenje ($\delta t = 0$)

1) JEDNAČINA KONTINUITETA:

- Načelo o nepromjenjivosti mase primjenjeno na fluidnu struju između dva presjeka



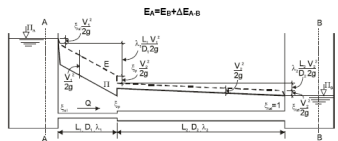
$$V_1 A_1 = V_2 A_2$$

V – srednja brzina u presjeku
 A – površina poprečnog presjeka
 Q – protok V fluida u jedinici t

56

2) ENERGETSKA JEDNAČINA:

- Načelo o održanju mehaničke energije primjenjeno na fluidnu struju između dva presjeka



Ukupna energija fluidne struje u uzvodnom presjeku = ukupnoj energiji fluidne struje u nizvodnom presjeku, uvećanoj za gubitke energije od uzvodnog do nizvodnog presjeka.

$$E_A = \Pi_A + \frac{V_A^2}{2g} \quad \text{Ukupna energija fluidne struje po jedinici težine u uzvodnom presjeku (potencijalna + kinetička)}$$

$$E_B = \Pi_B + \frac{V_B^2}{2g} \quad \text{Ukupna energija fluidne struje po jedinici težine u nizvodnom presjeku (potencijalna + kinetička)}$$

$$\Delta E_{A-B} = \Pi_A - \Pi_B \quad \text{Gubici energije po jedinici težine od uzvodnog do nizvodnog presjeka}$$

57

Vrste gubitaka:

$$\text{- linijski: } \Delta E_{lin} = \lambda \frac{L}{D} \frac{V^2}{2g}$$

$$\text{- lokalni: } \Delta E_{lok} = \xi \frac{V^2}{2g}$$

λ – koeficijent trenja

ξ – koeficijent lokačnog gubitka

L – dužina cijevi

D – prečnik cijevi

v – srednja brzina u presjeku

BITNA NAPOMENA:

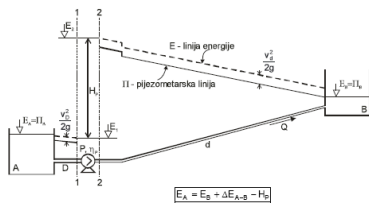
U formuli (obrascu) za računanje lokalnih gubitaka uzimamo NIZVODNU BRZINU, osim kod izlaza cijevi u rezervoar gdje se uzima brzina u cijevi.

Kod potopljenog izlaza cijevi u rezervoar, koeficijent lokalnog gubitka UVIJEK je $\xi_{pot}=1$.

58

HIDRAULIČKE MAŠINE – izmjena energije između fluida i čvrste pokretnе granice

1) PUMPE (hidrauličke mašine koje predaju energiju fluidu)



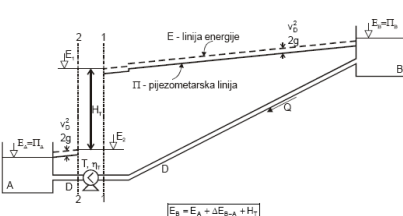
H_p – visina dizanja pumpe ($H_p = E_2 - E_1$)

η_p – koeficijent korisnog dejstva pumpe

N_p – snaga pumpe (W) $N_p = \rho g Q H_p / \eta_p$

59

2) TURBINE (hidrauličke mašine koje prenose energiju sa fluida na turbinu)



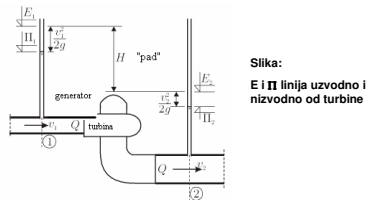
H_T – spuštanje ili pad turbine ($H_T = E_1 - E_2$)

η_T – koeficijent korisnog dejstva agregata

N_T – snaga turbine (W) $N_T = \rho g Q H_T \eta_T$

60

TURBINA = hidraulička mašina kojom se mehanička energija fluida prenosi na obrtno kolo



Prema slici: razlika energije uzvodno i nizvodno od turbine iznosi $H = E_1 - E_2$

H – smanjenje energije ili “pad”

- Ako se fluid mase **m** spusti za visinu **h** njegova potencijalna **E** (**E_p**) mijenja se za:

$$E_p = m g h$$

61

-Masa fluida: **m = ρΔV**

-Smanjenje potencijalne energije u jedinici vremena:

$$S_p = \frac{E_p}{\Delta t} = \frac{\rho g \Delta V h}{\Delta t}$$

Količnik **ΔV / Δt** je jednak proticaju **Q**, te imamo:

$$S_p = \rho g Q h \quad (\text{a})$$

Kinetička energija:

- Ako fluid mase **m** ima brzinu strujanja **v**, njegova kinetička energija **E_k**:

$$E_k = \frac{m v^2}{2}$$

Smanjenje kinetičke energije (**S_k**) u jedinici vremena:

$$\begin{aligned} S_k &= \frac{E_k}{\Delta t} \\ &= \frac{\rho \Delta V v^2}{2 \Delta t} \\ &= \rho g Q \frac{v^2}{2g} \end{aligned} \quad (\text{b})$$

62

- Iz j-na (a) i (b) \rightarrow smanjenje energije u jedinici vremena = **snaga**:

$$S = S_p + S_k$$

odnosno:

$$S = \rho g Q H$$

Snaga turbine:

$$S_t = \eta_t S$$

η_t – koef korisnog dejstva turbine (**η_t < 1**)

Gubici energije u turbini su posljedica:

- Trenja u ležajevima
- Gubitaka vode za hlađenje
- Hidrauličkih gubitaka u turbinii (trenje i lokalni gubici)

63

Snaga generatora:

$$S_g = \eta_g S$$

η_g – koef korisnog dejstva generatora (**η_g < 1**)

Gubici energije u generatoru:

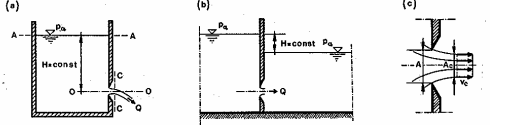
- Pri pretvaranju mehaničke **E** u električnu **E**
- Kada se dio mehaničke **E** pretvara u toplostnu **E**

64

USTALJENO ISTICANJE

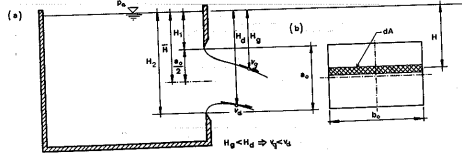
- Isticanje kroz oštrobridne otvore
- Oštrobridni otvor = rubovi otvora zaoštreni tako da d stijenke ne utiče na oblik mlaza
- Slučajevi isticanja:**

- a) Isticanje kroz male i velike (visoke) otvore
 b) Nepotopljeno (slobodno) i potopljeno isticanje



Ustaljeno isticanje kroz mali otvor: a) nepotopljeno isticanje b) potopljeno isticanje c) suženje mlaza

65



Ustaljeno isticanje kroz visoki otvor: a) geometrija isticanja b) geometrija otvora

- Podjela isticanja prema veličini otvora Δv u poprečnom presjeku mlaza
- Mali otvor $\Delta v \ll v$ praktično const. u poprečnom presjeku mlaza
- Mali otvor $\Delta v \gg v$ tlačna visina H iznad otvora je velika u usporedbi sa dimenzijama otvora
- Visoki otvor $\Delta v \approx v$ razlika v na gornjoj i donjoj slobodnoj strujnici mlaza je znatna

66

• Podjela prema načinu isticanja mlaza:

- a) Nepotopljeno isticanje = mlaz slobodno ističe u atmosferu
 b) Potopljeno isticanje = otvor se nalazi ispod nivoa donje vode

ISTICANJE KROZ MALE OTVORE:

- Strujnice u otvoru nisu paralelne
- Na određenoj udaljenosti od otvora zakrivenost strujnica se smanjuje \Rightarrow paralelne
- Pri tome nastaje smanjenje presjeka mlaza
- Suženi presjek** = presjek najbliži otvoru u kojem je isticanje sa praktično usporednim strujnicama
- A_c (m²) = površina suženog presjeka mlaza
- A (m²) = površina otvora

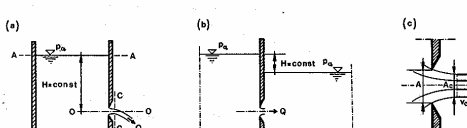
$$\epsilon_c = \frac{A_c}{A} \quad \text{Koeficijent suženja (kontrakcije)}$$

67

• Problem kod analize isticanja kroz otvore:

- Određivanje v isticanja (v_c) u suženom presjeku mlaza
- Određivanje protoka isticanja (Q)

• Za određivanje ovih veličina polazimo od Bernoulli-eve j-ne za presjeke A-A i C-C (referentna ravan 0-0)



Ustaljeno isticanje kroz mali otvor: a) nepotopljeno isticanje b) potopljeno isticanje c) suženje mlaza

Pretpostavljamo slobodno isticanje idealne tečnosti:

68

$$H = \frac{v_{ci}^2}{2g} \quad \Rightarrow \quad v_{ci} = \sqrt{2gH}$$

v_{ci} = v isticanja idealne tečnosti u suženom presjeku mlaza
 v_c = stvarna v isticanja u suženom presjeku mlaza ($v_c < v_{ci}$)

$$v_c = \varphi v_{ci} = \varphi \sqrt{2gH} \quad \varphi = \text{koefficijent brzine}$$

$$\varphi = \frac{v_c}{v_{ci}} < 1$$

Iz j-ne kontinuiteta: $Q = v_c A_c$

Nakon uvršavanja, dobijamo protok, Q: $Q = \varphi e_c A \sqrt{2gH} = \mu A \sqrt{2gH}$

To je proizvod koefficijenta brzine (φ) i koefficijenta suženja (e_c) prikazan koefficijentom isticanja (μ)

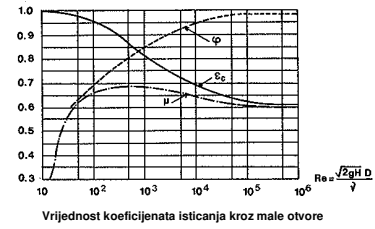
69

• Za primjenu navedenih izraza poznavati vrijednost koefficijenata φ i e_c , odnosno μ .

• Koefficijenti se određuju eksperimentalnim istraživanjima

• Istraživanja Altšulja (1970): dijagram vrijednosti koefficijenta φ , e_c i μ za kružne otvore u f-ji Re broja

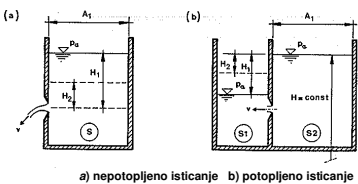
• Sa dijagraama: $Re > 100000 \Rightarrow$ koefficijenti imaju stalne vrijednosti



70

NEUSTALJENO ISTICANJE

- Kod isticanja uz rezervoara pod promjenjivim p
- Kada se nivo tečnosti u rezervoaru smanjuje prilikom isticanja
- Isticanje kroz potopljen otvor u prostor sa tečnosti u kojem se nivo mijenja



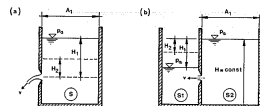
- I pod a) i pod b) u svakom trenutku se mijenjaju aktivni pritisak i Q, tj. v
- Zbog toga strujanje je nestacionarno

71

- Karakteristika:** - pretpostavlja se lagana vremenska promjena nivoa tečnosti
- polazi se od j-na za ustaljeno strujanje

• Vrijeme promjene tlačne visine od H_1 do H_2 (prethodna slika):

$$t = \frac{2A_1(\sqrt{H_1} - \sqrt{H_2})}{\mu A \sqrt{2g}}$$



Iz ovog izraza \Rightarrow relacija za određivanje vremena pražnjenja rezervoara (posude) ili vremena izjednačenja nivoa tečnosti u rezervoarima (ako uzmemo $H_2=0$):

$$t = \frac{2A_1\sqrt{H_1}}{\mu A \sqrt{2g}}$$

I za ove izraze važi ograničenje u smislu promjenjivosti koeff. isticanja, μ , u f-ji tlačne visine tj. t

72

ISTICANJE PREKO PRELIVA I ISPOD ZAPORNICA

PRELIV: HG u kojem voda struji pod dejstvom razlike p nastale zbog bočnog suženja ili pregrađivanja korita

ISTICANJE PREKO PRELIVA: strujanje vode na takvom jednom dijelu HG

ZAPORNICA: uređaj za ispuštanje (regulaciju) vodnih protoka i za zatvaranje nekih protočnih elemenata HG

ISTICANJE ISPOD ZAPORNICE: strujanje vode ispod takvog uređaja

73

ISTICANJE PREKO PRELIVA

Klasifikacija preliva prema:

- 1) **Profilu preliva:** - oštrobridni preliv
 - preliv praktičnog profila (poligonalnog i krivolinijskog obrisa)
 - preliv sa širokim pragom

2) Tlocrtnom položaju praga preliva u odnosu na smjer strujanja:

- okomiti preliv
- kosi preliv
- bočni preliv
- krivolinijski preliv

74

3) Tlocrtnom prilazu vodotoka ka prelivu:

- preliv bez bočnog suženja (**L** okomitog preliva=**B** vodotoka)
- preliv sa bočnim suženjem (**L** preliva < **B** vodotoka)

4) Načinu spajanja prelivnog mlaza sa donjom vodom (NDV**)**

- nepotpunjeno preliv (**NDV** ne utiče na prelivni **Q**)
- potopljeno preliv (**NDV** umanjuje tj. utiče na prelivni **Q**)

5) Obliku poprečnog presjeka po kruni preliva:

- pravougaoni preliv
- trouglasti preliv
- trapezni preliv
- kružni preliv
- parabolični preliv

75

•Karakteristika svih preliva:

-prilikom hidrauličkog proračuna polazimo od opšte j-ne preliva (proizilazi iz Bernoulli)

•Prelivni protok (Q**):**

- a) nepotpunjeno prelivanje $Q = m_o b_p \sqrt{2g} H^{3/2}$ ili $Q = mb_p \sqrt{2g} H_o^{3/2}$
- b) potopljeno prelivanje $Q = \sigma_p m_o b_p \sqrt{2g} H^{3/2}$ ili $Q = \sigma_p mb_p \sqrt{2g} H_o^{3/2}$

b_p – dužina preliva mjerena od dužine fronte preliva (m)

H – geometrijska prelivna visina (m)

H_o – energijska visina (m)

m_o , m – koeficijenti protoka na prelivu (zavise od konstrukcije samog preliva)

σ_p – koeficijent potopljenosti ovisan o uslovima potopljenosti i vrsti preliva

g – ubrzanje polja sile teže (m/s^2)

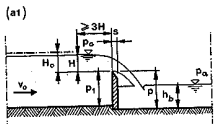
•Osnovni zadatak kod hidrauličkog proračuna preliva = definisanje koef. m_o ili m i σ_p

76

ISTICANJE PREKO OŠTROBRIDNOG PRELIVA:

- Rubovi praga zaošteni tako da d stijenke praga ne utiče na oblik prelivnog mlaza
- Relativne dimenzije mlaza oštobridnog preliva određene eksperimentima

A) NEPOTOPLJENO ISTICANJE PREKO OŠTROBRIDNOG PRELIVA



- Bez bočnog suženja i sa okomitim položajem praga (pokus Bazaina 1898)
- Bazain obuhvatio raspon veličina:

$$0.2 \text{ [m]} < b_p < 2 \text{ [m]}; \quad 0.24 \text{ [m]} < p_i < 1.13 \text{ [m]}; \quad 0.05 \text{ [m]} < H < 1.24 \text{ [m]}$$

77

- Bazain izveo empirijsku formulu za koeficijent protoka na prelivu:

$$m_o = \left[0.405 + \frac{0.003}{H} \right] \left[1 + 0.55 \left(\frac{H}{H + p_i} \right)^2 \right]$$

p_i – visina praga mjerena sa **NGV**

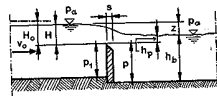
- Za preliminarne proračune uzimamo: $m_o = 0,42$

78

B) POTOPLJENO ISTICANJE PREKO OŠTROBRIDNOG PRELIVA

- Nastaje kada su ispunjena dva uslova:

- $h_b > p$, odnosno, $z < H$,
- $z/p < (z/p)_{cr}$.



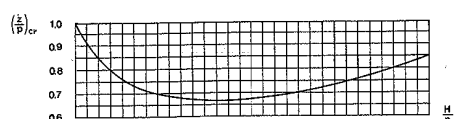
h_b – dubina DV (m)

p – visina praga mjerena sa strane DV (m)

z – razlika nivoa GV i DV (m)

- Drugi uslov (b) osigurava da se kod prelivanja ne pojavi odbačeni vodni skok

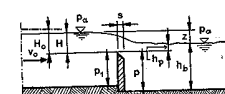
79



- Potpulenost oštobridnog preliva uzima koeficijent potopljenosti, σ_p .

σ_p (po Bazainu) nezavisan od bočnog suženja:

$$\sigma_p = 1.05 \left(1 + 0.2 \frac{h_p}{p} \right)^3 \sqrt{\frac{z}{H}}$$



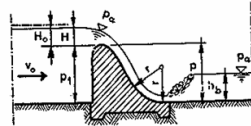
h_p – nadvišenje NDV iznad krune preliva (m)

80

ISTICANJE PREKO PRELIVA PRAKTIČNIH PROFILA KRIVOLINIJSKIH OBRISA

- Prema obrisu krivolinijski preliv su:

- Bezvakuumski preliv
- Vakuumski preliv



-BEZVAKUUMSKI PRELIV: Profil preliva se podudara sa donjim obrisom (konturom) slobodnog prelivnog mlaza.

-VAKUUMSKI PRELIV: Između površine preliva i slobodnog prelivnog mlaza postoji slobodan prostor (tu nastaje podpritisak).

-Vakuumski preliv → nestabilnost prelivnog mlaza, vibracije objekta
-Praksa → većinom se grade bezvakuumski prelivi

81

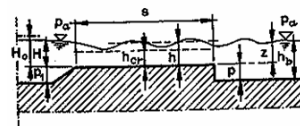
ISTICANJE PREKO PRELIVA SA ŠIROKIM PRAGOM

- Složena pojava

• Tok u pragu nije kontinualno promjenljiv (izraženo kod većeg odnosa s/H)

• s = širina krune preliva II sa tokom

• Naglašeno kod potopljenih preliva



Nepotopljeno isticanje preko preliva sa širokim pragom:

-Dubina na pragu $h(m) < h_{cr}$ na pragu ($h < h_{cr}$) → pragovi $s/H < 7$ (uži pragovi)

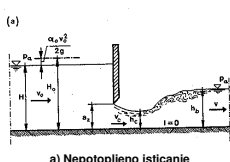
- $H > h_{cr}$ → široki pragovi $s/H=8$ do 10 (valovni skok na pragu – slika gore)

82

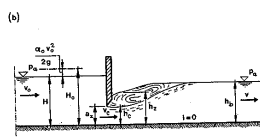
ISTICANJE ISPOD ZAPORNICA

Isticanje ispod zapornica:

- Nepotopljeno isticanje (slobodno)
- Potpunjeno isticanje



a) Nepotopljeno isticanje



b) Potopljeno isticanje

Posmatramo (sa slike):

- isticanje ispod zapornice kroz pravougaoni presjek bez praga
- ravno dno ($I=0$)

83

A) NEPOTOPLJENO ISTICANJE ISPOD ZAPORNICA

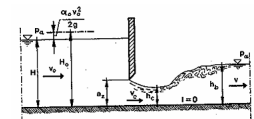
* Uslovi za ispunjenje (ispunjen bar jedan):

-Mlaz isticanja prelazi u miran tok u suženom presjeku pomoću odbačenog vodnog skoka

-Dno vodotoka iza otvora ima pad ($I > I_{cr}$)

Uslov za slobodno isticanje:

$$\frac{h_b}{h_c} \left(\frac{h_b}{h_c} + 1 \right) < 4\varphi^2 \left(\frac{H_0}{h_c} - 1 \right)$$



h_b – dubina u koritu donje vode (m)

h_c – dubina u suženom presjeku (m)

φ – koef. brzine ($\varphi = 0,95$ do $0,97$ zapornica bez praga)

H_0 – energijska visina (m)

84

$$\text{Dubina u suženom presjeku mlaza: } h_c = \frac{A_c}{b_z} = \epsilon_c a_z$$

a_z – visina otvora (podizanje zapornice) (m)

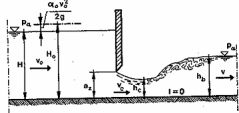
b_z – širina otvora (m)

A_c – površina suženog presjeka mlaza isticanja (m^2)

ϵ_c – koef. vertikalnog oštrobridnog suženja

Vrijednosti ϵ_c u f-ji visine otvora:

| a_z/H | ϵ_c | a_z/H | ϵ_c | a_z/H | ϵ_c |
|---------|--------------|---------|--------------|---------|--------------|
| 0.10 | 0.615 | 0.35 | 0.628 | 0.60 | 0.660 |
| 0.15 | 0.618 | 0.40 | 0.630 | 0.65 | 0.675 |
| 0.20 | 0.620 | 0.45 | 0.638 | 0.70 | 0.690 |
| 0.25 | 0.622 | 0.50 | 0.645 | 0.75 | 0.705 |
| 0.30 | 0.625 | 0.55 | 0.650 | | |



U tabeli H = dubina ispred otvora (tlačna visina)

85

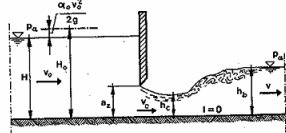
Brzina v_c (nepotopljeni isticanje) - pomoću Bernoulli-eve j-ne:

$$v_c = \varphi \sqrt{2g(H_o - h_c)} = \varphi \sqrt{2g(H_o - \epsilon_c a_z)}$$

Proticaj (nepotopljeni isticanje):

$$Q = v_c A_c = \varphi \epsilon_c a_z b_z \sqrt{2g(H_o - \epsilon_c a_z)} = \mu a_z b_z \sqrt{2g(H_o - h_c)}$$

$\mu = \varphi \epsilon_c$ (koeficijent isticanja)

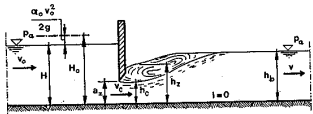


86

B) POTOPLJENO ISTICANJE ISPOD ZAPORNICA

• Nastanak ako u suženom presjeku je dubina h_z tako da je:

$h_c < h_z < h_b$ (slučaj potopljenog vodnog skoka)



• Proticaj kroz otvor zapornice glasi: $Q = \mu a_z b_z \sqrt{2g(H_o - h_z)}$

μ – Koeficijent isticanja (isti kao i kod nepotopljenog isticanja)

• Dubina iza zapornice h_z glasi: $h_z^2 = h_o^2 - 4\mu^2 a_z^2 (H_o - h_z) \frac{h_b - h_c}{h_b h_c}$

• Ako uvedemo označku: $M_z = 4\mu^2 a_z^2 \frac{h_b - h_c}{h_b h_c} = 4(\epsilon_c \varphi)^2 a_z^2 \frac{h_b - h_c}{h_b h_c}$

• Dobijamo:

$$h_z = \sqrt{h_b^2 - M_z \left[H_o - \frac{M_z}{4} \right]} + \frac{M_z}{2}$$

87

MJERENJE BRZINE I PROTOKA FLUIDA

• Razvijen veoma veliki broj odgovarajućih metoda.

• Potrebno je mjeriti od veoma malih do veoma velikih brzina i protoka.

• Potrebno je mjeriti brzine i protoke u cijevima, ali i brzine u otvorenim tokovima.

• Veoma veliki broj različitih fluida (neki su hemijski agresivni, a neki ne).

• Neki fluidi su provodnici električne struje, a neki ne.

• Veliki broj različitih metoda i instrumenata za mjerjenje.

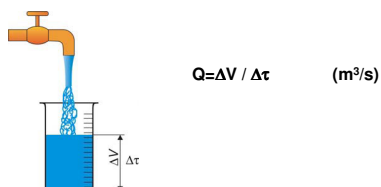
• Metode mjerjenja brzine i protoka fluida mogu se podijeliti u slijedeće grupe:

1. Direktno mjerjenje protoka tečnosti,
2. Mjerjenje protoka prigušnicama,
3. Mjerno koljeno,
4. Mjerjenje brzine fluida pomoću zauzavnog pritiska,
5. Mjerila sa lebdećim tijelom - rotometri
6. Turbinska mjerila protoka,
7. Indukciono mjerilo protoka,
8. Ultrazvučno mjerilo brzine i protoka,
9. Termalne metode mjerjenja brzine,
10. Vrtložno mjerilo protoka,
11. Anemometri,
12. Zaređenijske metode mjerjenja protoka itd.

88

1. Direktno mjerjenje protoka tečnosti

- Ova metoda je nastarila, najtačnija i direktna.
- Može se primjenjivati samo u veoma malom broju tehničkih slučajeva.
- Sastoji se u odmjeravanju zapremine tečnosti pomoću menzure i hronometra
- Primjenjiva samo za tečnosti.
- Kada postoji mogućnost, pomoću menzure se mjeri zapremina tečnosti ΔV , koja je istekla u određenom vremenu Δt , a zapreminski protok odredi se na slijedeći način:



89

2. Mjerjenje protoka prigušnicama

- U cijev postavimo element, za koji nam je potpuno poznata zavisnost gubitka fluidne energije od protoka \square moguće odrediti Q ako se odredi gubitak pritisne energije.
- Gubitak pritisne energije posredno se iskazuje smanjenjem p .
- U stručnoj literaturi ova veličina naziva se pad p pri strujanju.
- Element koji se postavlja u cijev naziva se prigušnica.
- Postoji veoma veliki broj prigušnica koje se postavljaju u cijev sa svrhom mjerjenja Q .
- Prigušnice su standardizovane.
- Mada postoji veći broj standardnih prigušnica, najčešće su tri vrste:
mjerna prigušnica, mlaznica i Venturi cijev
- Razlika pritiska Δp mjeri se ispred i iza mjerne prigušnice ili mlaznice.
- U slučaju Venturi cijevi razlika p mjeri se ispred nje i u nazužem preseku.
- Ovako izmjerena razlika p služi da se odredi Q .

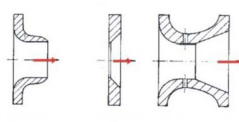
90

- Protok se određuje prema izrazu:
$$Q = \varepsilon \alpha A_2 \sqrt{\frac{2 \Delta p}{\rho}}$$
- ε - koeficijent ekspanzije,**
 α - protočni koeficijent,
 A_2 (m^2) – površina poprečnog preseka u suženom dijelu,
 Δp (Pa) – izmjereni pad pritiska i
 ρ (kg/m^3) – gustina fluida

- Koeficijent ekspanzije ε uzima u obzir stišljivost fluida.
- Ova osobina dolazi do izražaja, pri ovakovom načinu mjerjenja, u slučaju brzina gasova koje su bliske brzini zvuka.
- U ostalim slučajevima može se uzeti da je $\varepsilon \approx 1$.
- Koeficijent protoka α određuje se na bazi Rejndoldsovog broja i konstrukcionih dimenzija prigušnice iz posebnih tabela, koje su sastvani deo standarda.

91

Oblik mjernih prigušnica:



Mjerne prigušnice (a - mlaznica, b - mjerna prigušnica, c-Venturi cijev)

Maseni protok određuje se na bazi poznate gustine fluida: $\dot{m} = \rho Q$

- Upotreba ove metode mjerjenja protoka dosta je raširena u praksi i naučnim istraživanjima = **precizna**.

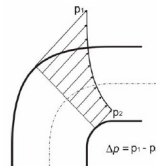
92

3. Mjerno koljeno za mjerjenje protoka

- Mjerno koljeno: jednostavna metoda, koristi se efekt razlike p fluida u poprečnom presjeku, pri strujanju kroz koljeno cijevi.
- Na slici prikazana promjena p u poprečnom presjeku koljena.
- Na osnovu izmjerena razlike p na spoljnjoj i unutrašnjoj strani koljena (Δp) određujemo protok:

$$Q = A_k \sqrt{\Delta p}$$

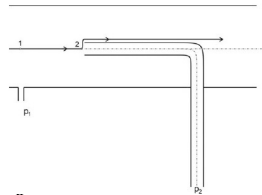
A_k – mjerna konstanta, (određuje se baždarenjem)



93

4. Mjerjenje brzine fluida pomoću zaustavnog pritiska

- Mjerjenje v strujanja fluida moguće primjenom Bernoulli-eve j-ne.
- Osnovni princip mjerjenja: Pitova cijev (Pitot)
- Princip mjerjenja:



$$\frac{v_1^2}{2} + \frac{p_1}{\rho} = \frac{v_2^2}{2} + \frac{p_2}{\rho} \quad \text{Bernoulli-eva j-na}$$

$z_1 = z_2$
Na strujnici u tački 2 fluid se zaustavlja, tj. brzina fluida $v_2 = 0$. Na osnovu ovoga imamo:

$$v_1 = \sqrt{\frac{2(p_2 - p_1)}{\rho}} = \sqrt{\frac{2\Delta p}{\rho}}$$

94

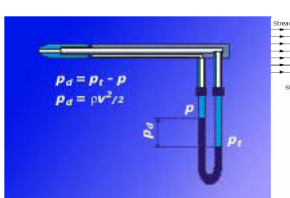
-Prandtl je unapredio Pitovu cijev \implies pojednostavio mjerjenje razlike p .

-Na Prandtlovoj cijevi postoje male rupice sa strane kroz koje dolazi signal pritiska p_1 .

-Mjeri se razlika pritisaka Δp .

-Ova razlika p se često naziva dinamički pritisak.

-Pritisak p_1 naziva se statički pritisak, a pritisak p_2 totalni pritisak.



Prandtlova cijev

95

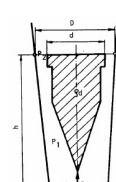
5. Mjerjenje sa ledbećim tijelom (rotametar)

- Princip uravnoteženja uzgonske sile (sile otpora tijela strujanju fluida), sile pritiska i težine tijela koje se postavi u vertikalnu struju fluida.

-Uglavnom se primjenjuje za mjerjenje Q tečnosti.

-Mjerilo se baždari, pri čemu se određuje konstanta baždarenja k .

- Q se očitava sa strane konusne staklene cijevi na izbaždarenoj skali.



Rotametar



96

-Ova mjerila pogodna kada je potrebno trenutno poznavanje protoka tečnosti

-Zavisnost Q od položaja lebdećeg tijela u cijevi je:

$$\dot{m} = \rho Q = k \left(\frac{D^2 \pi}{4} - \frac{d^2 \pi}{4} \right)$$

k – koeficijent baždarenja

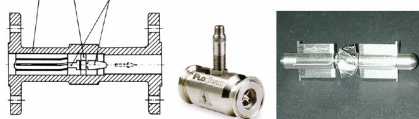
97

6. Turbinsko mjerjenje protoka

-U cijevni element postavlja se mjerna turbina.

-Učestanost obrtanja turbine zavisna od v , odnosno Q fluida.

-Sa strane se postavlja senzor koji registruje učestalost obrtanja turbine.



Turbinsko mjerjenje protoka
(presjek – lijevo, spoljni izgled – u sredini, mjerna turbina –desno, 1 – tijelo, 2 – mjerna turbina, 3 – oslonci)

-Protok srazmeran učestanosti obrtanja: $Q = k \cdot n$

k – koeficijent baždarenja

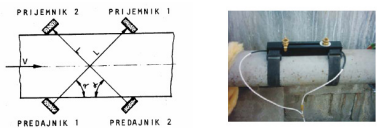
98

7. Ultrazvučno mjerjenje protoka

-U cijevi postavljeni predajnici i prijemnici ultra zvuka (slika dole).

-Ova mjerena: na postojeće cijevi (velika prednost).

-Mara → relativno skupa.



-Kretanje zvuka niz struju fluida brže nego uz struju zbog prenosne v fluida.

-Uz mjerilo ugrađena oprema koja registruje razliku tih v .

-Razlika tih brzina Δf zavisna od v fluida:

$$\Delta f = \frac{2v \cos \alpha}{L}$$

99

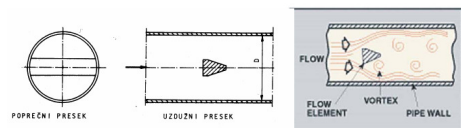
8. Vrtložno mjerjenje protoka

-Poznata je zavisnost učestalosti otkidanja laminarnog graničnog sloja od v kretanja fluida = fenomen Karmanovih vrtloga.

-Prepreka u struji fluida, iza nje će periodično da se kreću vrtlozi čija učestalost zavisi od v fluida.

-Dugo vremena trebalo da se tehnički tačno i pouzdano registruju vrtlozi.

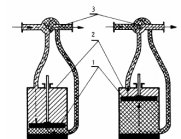
-Registrovanje vrtloga danas rješeno veoma precizno (veoma preciznih mjerila)



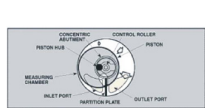
100

9. Zapreminska mjerena protoka

- Bazirano na mjerenu V fluida koji protiče kroz cjevovod.
- Dvije osnovne grupe mjerila:
 - a) klipna mjerila
 - b) rotaciona mjerila
- Najmasovnije rotaciono zapreminska mjerilo protoka  **vodomjerni sat**



Klipno mjerjenje protoka
1-klip 2-cilindar 3-mjerni zasun



Rotaciono zapreminska mjerena protoka

101